

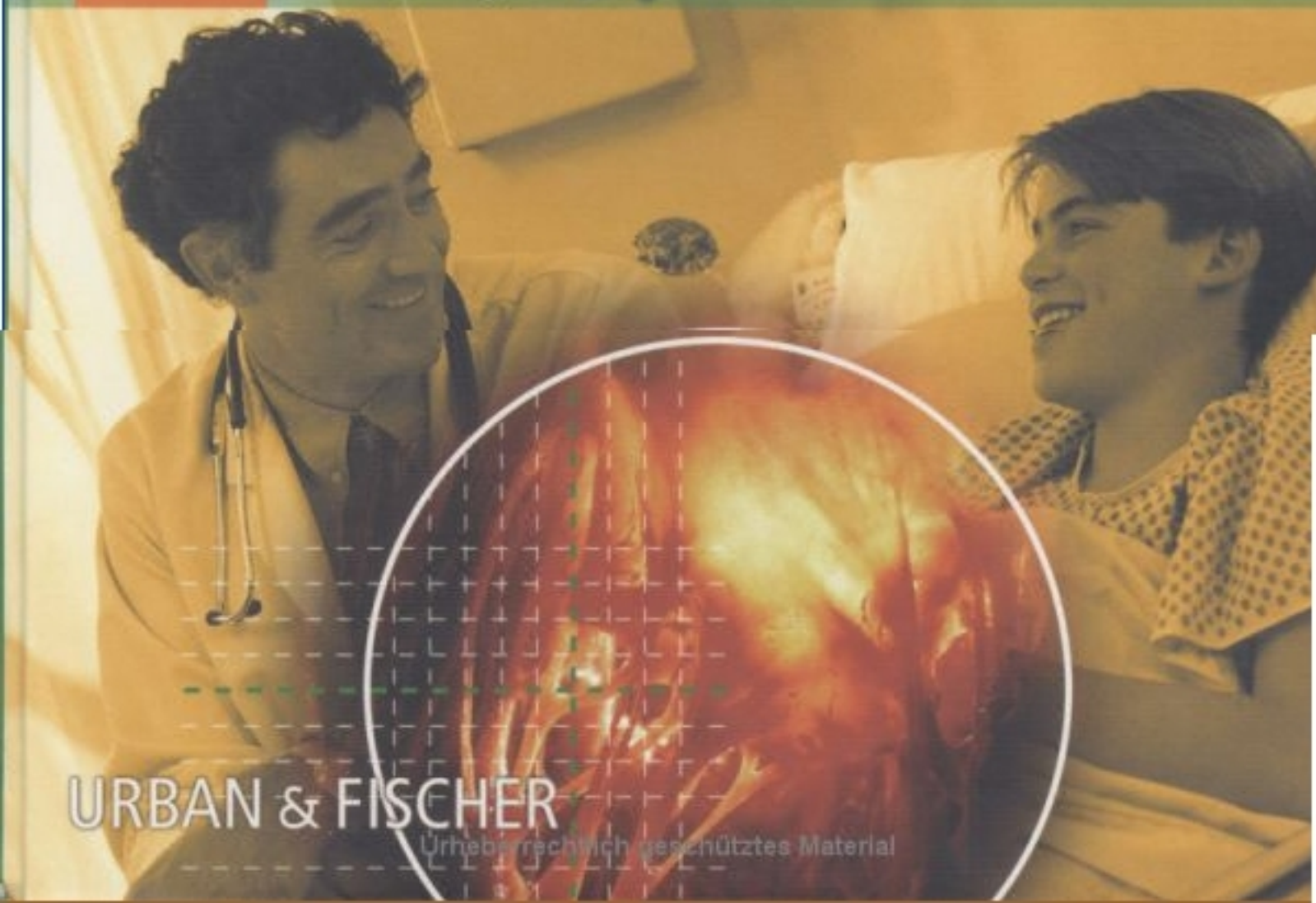


H. Renz-Polster S. Krautzig J. Braun

Basislehrbuch Innere Medizin

kompakt · greifbar · verständlich

3. Auflage



URBAN & FISCHER

Abkürzungsverzeichnis



A

a. p.

anterior-posterior

a. -v.

arterio-venös

ACE

angiotensin converting enzyme

ACTH

adrenokortikotropes Hormon

ACVB

aortokoronarer Venenbypass

ADH

antidiuretisches Hormon

ADEM

Akute demyelinisierende Enzephalomyelitis

AFP

α -Fetoprotein

AGS

adrenogenitales Syndrom

AIDS

Acquired-Immuno-Deficiency-Syndrom

AK

Antikörper

ALL

akute lymphatische Leukämie

AMA

antimitochondriale Antikörper

AML

akute myeloische Leukämie

ANA

antinukleäre Antikörper

ANCA

antinukleäre zytoplasmatische Antikörper

ANV

akutes Nierenversagen

AP

alkalische Phosphatase

APS

autoimmune polyglanduläre Syndrome

APUD

Amine-Precursor-Uptake and Decarboxylation

ARDS

Acute-Respiratory-Distress-Syndrome

ASD

Atrioseptaldefekt

ASS

Acetylsalicylsäure

AT

Antithrombin

AVK

arterielle Verschlusskrankheit

B

BAL

bronchoalveoläre Lavage

BB

Blutbild

BE

Broteinheit, Base excess

BGA

Blutgasanalyse

β -HCG

humanes Choriongonadotropin

BMI

Body-Mass-Index

BSG

Blutkörperchensenkungsgeschwindigkeit

BWS

Brustwirbelsäule

BZ

Blutzucker

C

C1 bis C8

Zervikalsegment 1-8

Ca^{2+}

Kalzium

CA

Karzinom

CAH

chronisch aggressive Hepatitis

cAMP

zyklisches Adenosinmonophosphat

CAPD

kontinuierliche ambulante Peritonealdialyse

CCK

Cholezystokinin

CCT

kraniales Computertomogramm

CD

cluster of differentiation

CEA

karzino-embryonales Antigen

CF

Cystic Fibrosis (Mukoviszidose)

cfu

Colony-Forming-Unit

CHE

Cholinesterase

Cl⁻

Chlorid

CLL

chronisch lymphatische Leukämie

CML

chronisch myeloische Leukämie

CMV

Cytomegalie-Virus

CNI

chronische Niereninsuffizienz

COLD

Chronic-Obstructive-Lung-Disease

COPD

Chronic-Obstructive-Pulmonary-Disease

CRH

Corticotropine-Releasing-Hormone

CRP

C-reaktives Protein

CT

Computertomogramm, konventionelle Insulintherapie

CVI

chronisch venöse Insuffizienz

CVSS

chronisch venöses Stauungssyndrom

D

D

Dalton

d

Tag

DD

Differentialdiagnose

DHEA

Dehydroepiandrosteron

DI

Diabetes insipidus, distaler Insuffizienzpunkt

DIC

disseminierte intravasale Koagulation

DIP

distales Interphalangealgelenk

dl

Deziliter

DNS

Desoxyribonukleinsäure

DSA

digitale Subtraktionsangiographie

DSO

Deutsche Stiftung Organtransplantation

E

EAA

exogen allergische Alveolitis

EBV

Ebstein-Barr-Virus

E. coli

Escherichia coli

ECR

Extrazellulärraum

EHEC

enterohämorrhagische E. coli

EIEC

enteroinvasive E. coli

EKG

Elektrokardiogramm

ELISA

Enzyme-Linked-Immuno-Sorbent-Assay

EPH- Gestose

Edema, Proteinuria, Hypertension

ERC (P)

endoskopische retrograde Cholangio-Pankreatikographie

F

F

Frauen, Faktor

FEV₁

Einsekundenkapazität

FFP

Fresh-Frozen-Plasma

FRC

Functional-Residual-Capacity

FSH

Follikel stimulierendes Hormon

FSME

Frühsommermeningoenzephalitis

FSP

Fibrinospaltprodukte

fT₃

freies T₃

fT₄

freies T₄

G

G6PD

Glukose-6-Phosphat-Dehydrogenase

GALT

Gut-Associated-Lymphatic-Tissue

GAS

Gruppe-A-Streptokokken

GBM

glomeruläre Basalmembran

G-CSF

Granulocyte-Colony-Stimulating-Factor

GFR

glomeruläre Filtrationsrate

γ-GT

γ-Glutamyl-Transferase

GH

Growth-Hormone

GHRH

Growth-Hormone-Releasing-Hormone

GI

glykämischer Index

GIP

Glucose-dependent-Insulin-Releasing-Peptide

GIT

Gastrointestinaltrakt

GLDH

Glutamatdehydrogenase

GLP

Glucagon-Like-Peptide

GM-CSF

Granulocyte-Macrophage-Colony-Stimulating-Factor

GN

Glomerulonephritis

GnRH

Gonadotropin-Releasing-Hormone

GOT

Glutamat-Oxalazetat-Transaminase

GPT

Glutamat-Pyruvat-Transaminase

Gy

Gray (Einheit der Strahlentherapie)

H

h

Stunde

Hb

Hämoglobin

Hbs-Ag

Hepatitis-B-Antigen

HDL

High-Density-Lipoprotein

HE

Hämatoxilin-Eosin

HHL

Hypophysenhinterlappen

HIT

heparin-induzierte Thrombozytopenie

Hkt (Hk)

Hämatokrit

HLA

Human-Leukocyte-Antigen

HOCM

hypertrophe Kardiomyopathie

HP

Helicobacter pylori

HPT

Hyperparathyreoidismus

HR-CT

High-Resolution-Computer-Tomography, hochauflösende Computertomographie

HSV

Herpes-simplex-Virus

HT

Herzton

HUS

hämolytisch-urämisches Syndrom

HVL

Hypophysenvorderlappen

HWI

Harnwegsinfekt

HWK

Halswirbelkörper

HWS

Halswirbelsäule

HWZ

Halbwertszeit

HZV

Herzzeitvolumen

I

i. a.

intraarteriell

i. c.

intrakutan

ICR

Intrazellulärraum

ICT

intensivierte Insulintherapie

i. m.

intramuskulär

i. S.

im Serum

i. v.

intravenös

ICD

Intracardial-Cardioverter-Defibrillator

ICR

Intercostalraum

IE

Internationale Einheit

IFN

Interferon

IgA

Immunglobulin A

IGF

Insulin-Like-Growth-Factor

IKZ

Inkubationszeit

IL

Interleukin

INR

International-Normalized-Ratio

IP

Interphalangealgelenk

IPD

Intermittierende Peritonealdialyse

IPF

idiopathische Lungenfibrosen

ISDN

Isosorbitdinitrat

ISMN

Isosorbitmononitrat

ITP

idiopathische thrombozytopenische Purpura

J

J

Jahre

JÜR

Jahresüberlebensrate

K

K⁺

Kalium

KBR

Komplementbindungsreaktion

KH

Kohlenhydrate

KHK

koronare Herzkrankheit

KM

Kontrastmittel

L

l

Liter

L1-L5

Lumbalsegment 1-5

LADA

Latent Autoimmune Diabetes in Adults

LAST

Lübecker Alkoholabhängigkeit und -missbrauch Screening Test

LDH

Laktatdehydrogenase

LDL

Low-Density-Lipoproteine

LH

lutetinisierendes Hormon

Lig.

Ligamentum

Lj.

Lebensjahr

LWS

Lendenwirbelsäule

M

M

Männer

M. , Mm.

Musculus, Musculi

MALT

Mucosa-Associated-Lymphatic-Tissue

MALT

Münchener Alkoholismus-Test

MAO

Monoaminoxidase

MCL

Medioklavikularlinie

MCP

Metacarpophalangealgelenke

MCTD

Mixed-Connective-Tissue-Disease

MCV

mittleres korpuskuläres Volumen

MDT

Magen-Darm-Trakt

MEN

multiple endokrine Neoplasien

MG

Molekulargewicht

Mg²⁺

Magnesium

MHC

Major-Histocompatibility-Complex

Min.

Minute

Mio.

Millionen

MMS

Monozyten-Makrophagen-System

MODY

Maturity Onset Diabetes of the Young

MRT

Magnetresonanztomographie

ms

Millisekunden

MSH

melanozytenstimulierendes Hormon

MTP

Metatarsophalangealgelenk

MTX

Methotrexat

MÜZ

mittlere Überlebenszeit

N

Na

Natrium

NH₃

Ammoniak

NIPD

nächtliche intermittierende Peritonealdialyse

NK

Natural-killer-Zellen

NMR

Kernspintomographie

Nn.

Nervi

NNR

Nebennierenrinde

NSAID

Nonsteroidal-Antiinflammatory-Drugs

NSAR

nichtsteroidale Antirheumatika

NSTEMI

„Non-ST-Segment-Elevation“-Infarkt

NW

Nebenwirkungen

NYHA

New York Heart Association

O

oGTT

oraler Glukosetoleranztest

OP

Operation

P

p. a.

posterior-anterior

PAN

Panarteriitis nodosa

PAP

Papanicolaou

PAS

Paraaminosalizylsäure

pAVK

periphere arterielle Verschlusskrankheit

pCO₂

Kohlendioxidpartialdruck

PCR

Polymerase-Chain-Reaction

PDGF

Platelet-Derived-Growth-Factor

PEEP

Positive-Endexpiratory-Pressure

PEG

perkutane endoskopische Gastrostomie

PGE

Prostaglandin

PI

proximaler Insuffizienzpunkt

PIP

proximales Interphalangealgelenk

P. m.

punctum maximum pO₂ Sauerstoffpartialdruck

PPAR

Peroxisome-Proliferator-Activated-Rezeptor

PRIND

prolonged reversible ischaemic neurological deficit

PTC

perkutane transhepatische Cholangiographie

PTCA

perkutane transluminale koronare Angioplastie

PTH

Parathormon

PTT

partielle Thrombinzeit

R

r. A., RA

rheumatoide Arthritis

RAAS

Renin-Angiotensin-Aldosteron-System

REM

Rapid-Eye-Movement

RES

retikulo-endotheliales System

RG

Rasselgeräusch

RIA

Radioimmunoassay

RNA

Ribonukleinsäure

RÖ

Röntgen

ROS

Reactive-Oxygen-Species

RPGN